

Fig. 1

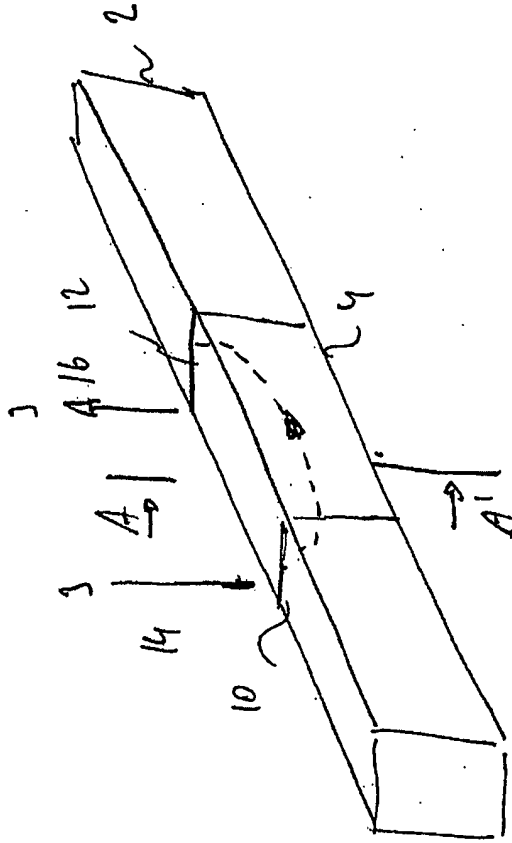


Fig. 2A



Fig. 2B

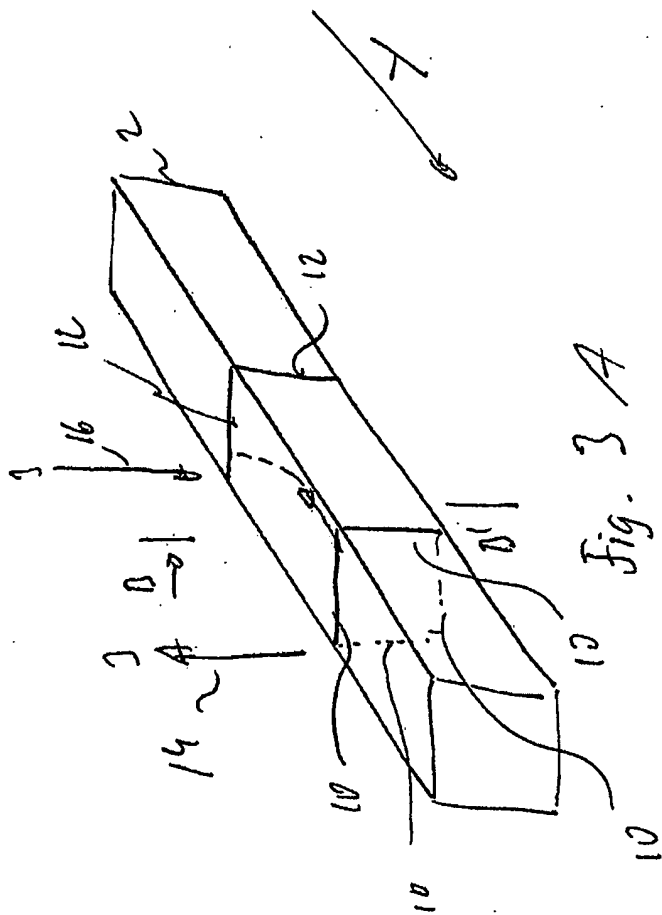


Fig. 3 A

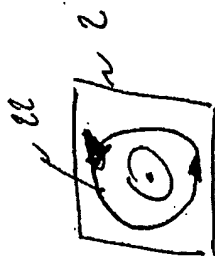


Fig. 3 B

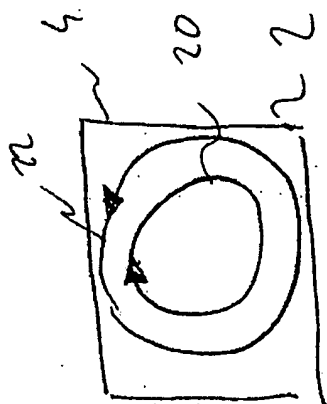
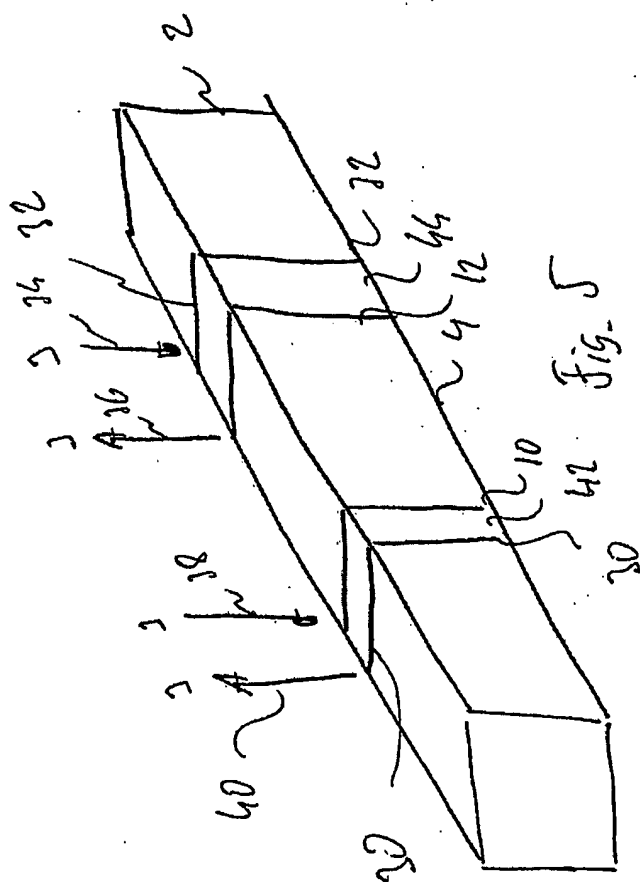


Fig. 4



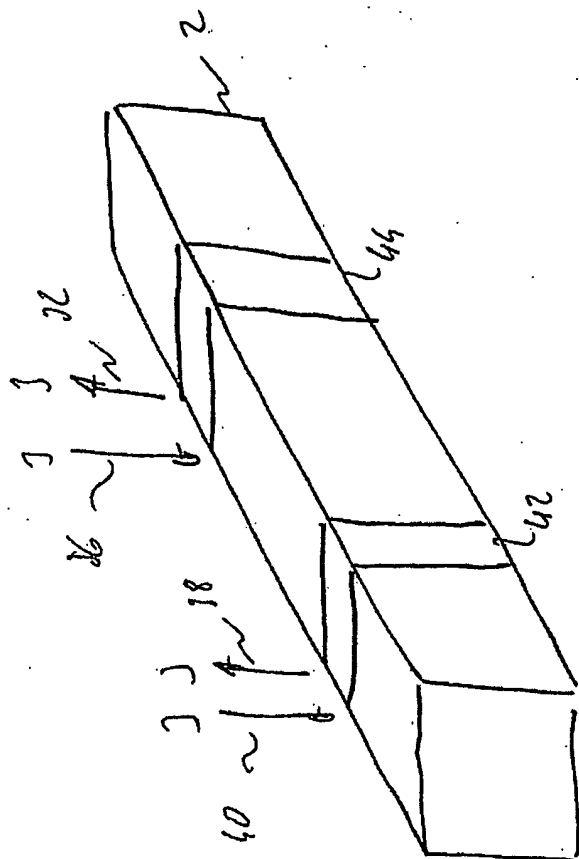


Fig. 6

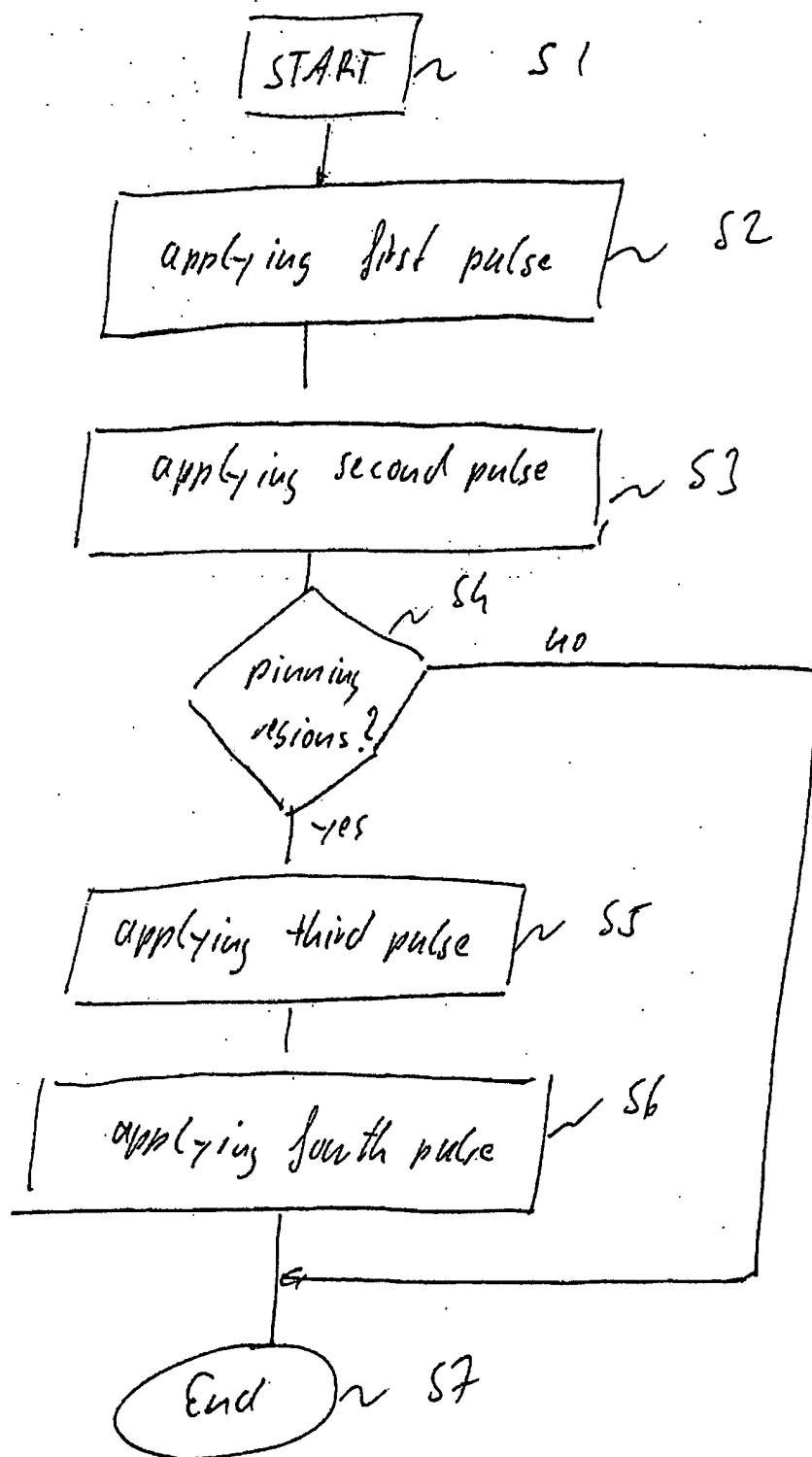


Fig. 7

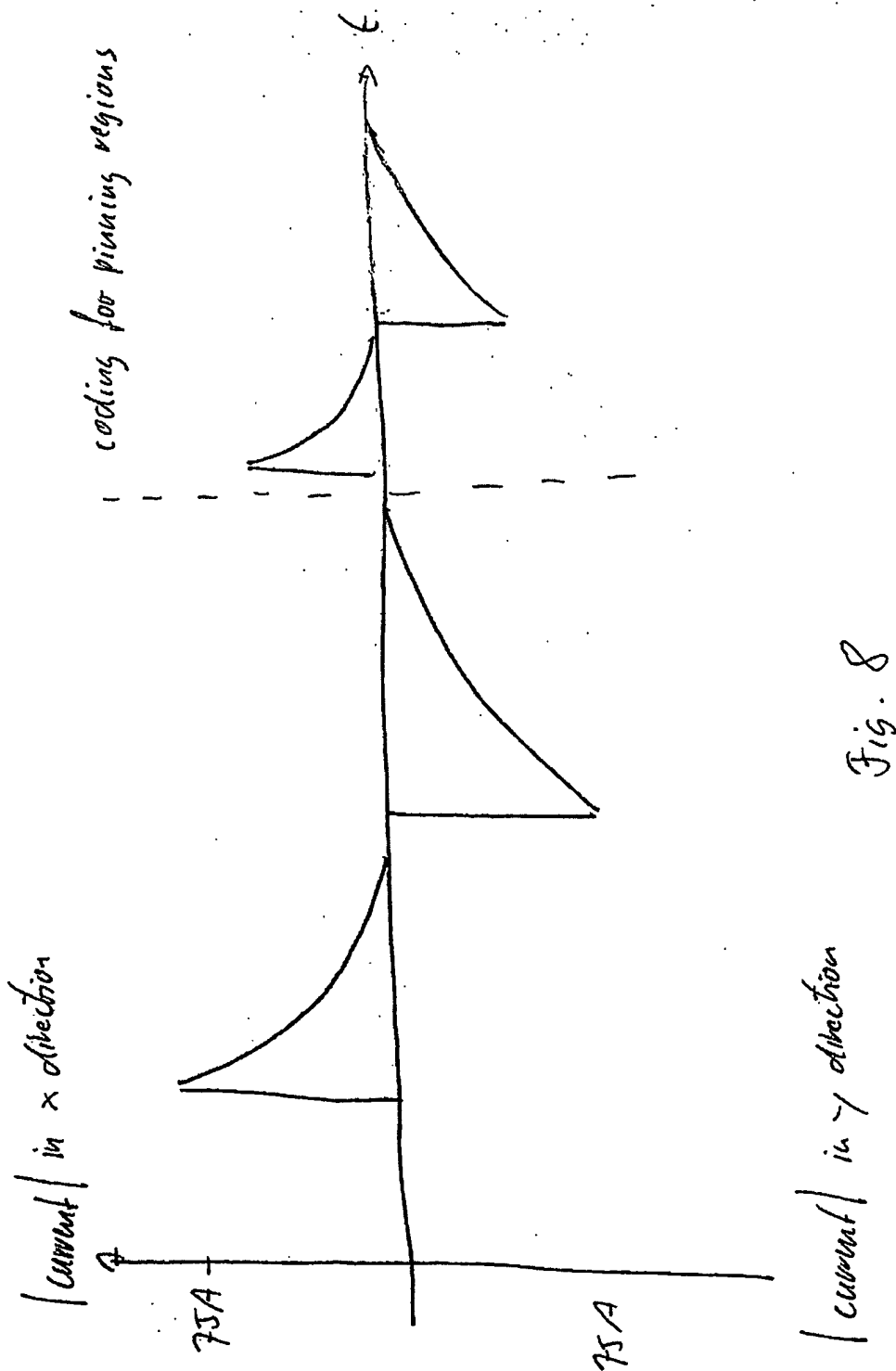


Fig. 8



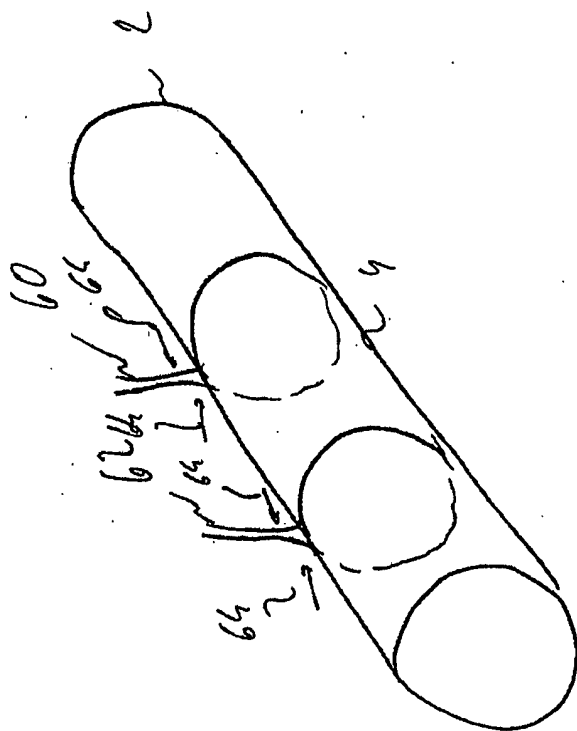


Fig. 9

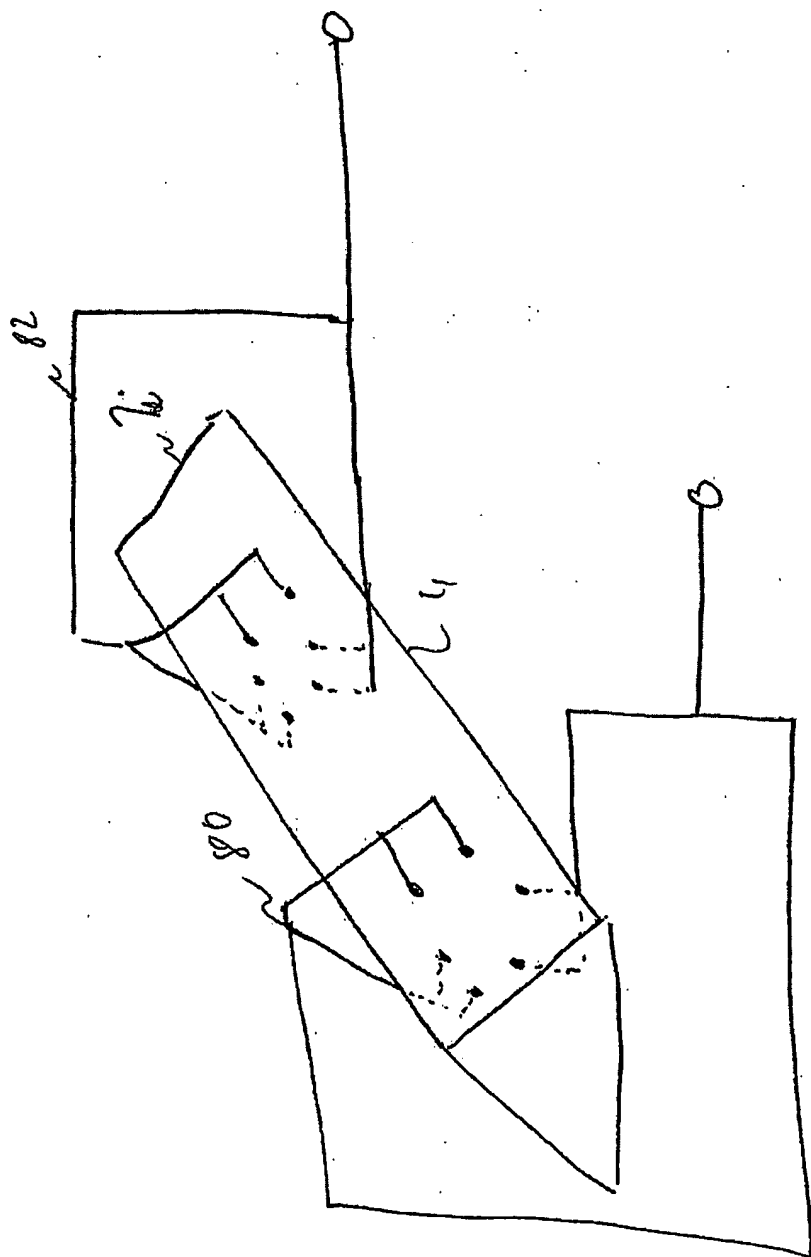


Fig. 10A

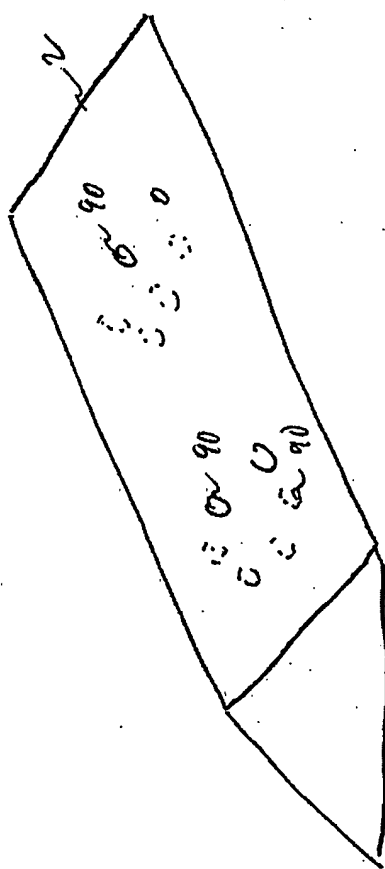


Fig. 10B

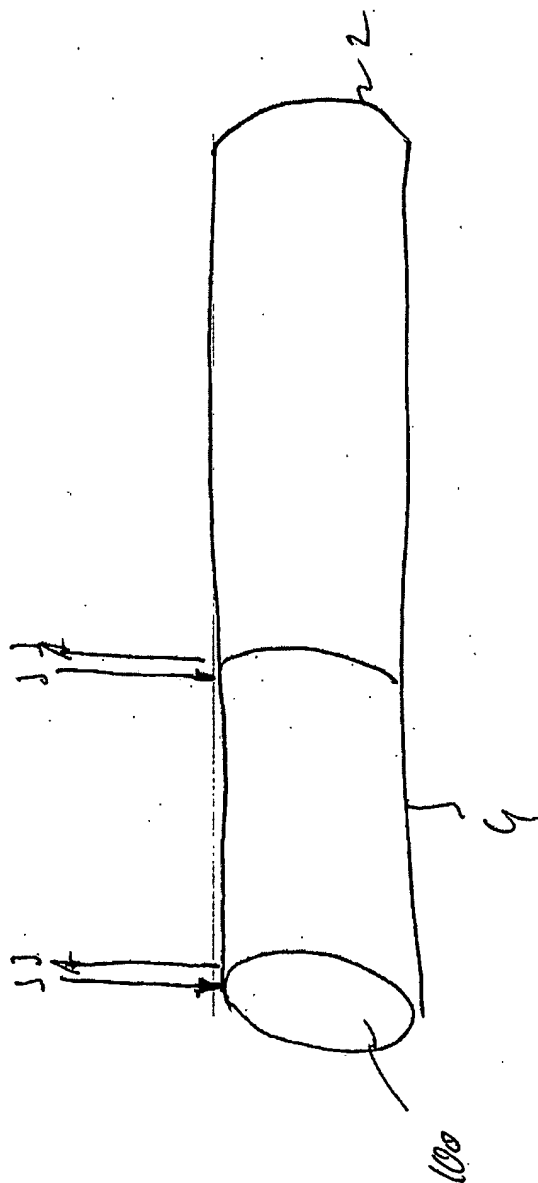


Fig. 11

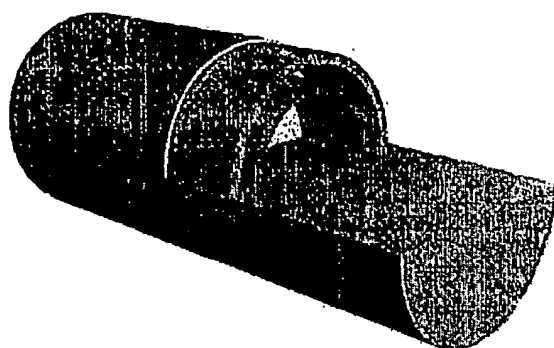


Fig. 12

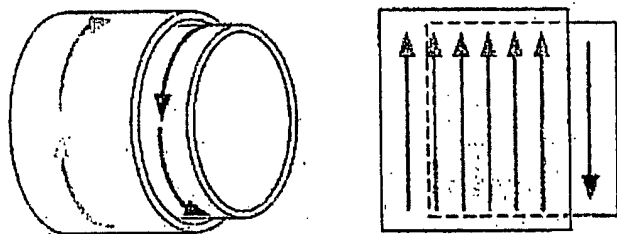


Fig. 13

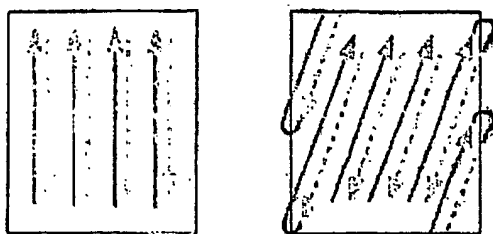


Fig. 14

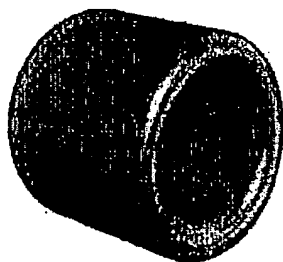


Fig. 15

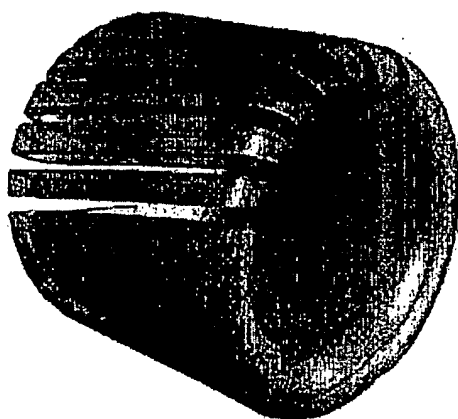


Fig. 16

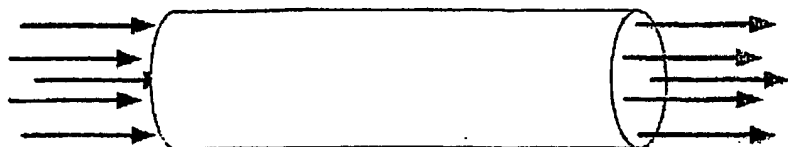


Fig. A

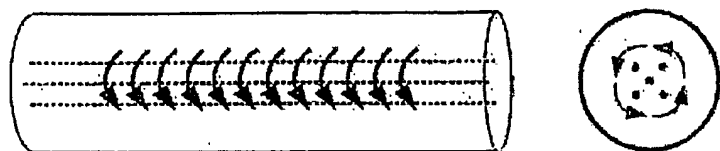


Fig. 18

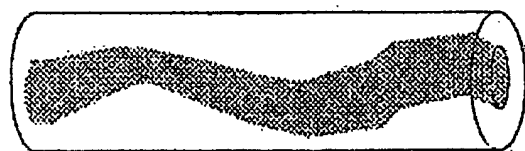


Fig. 19



Fig. 20

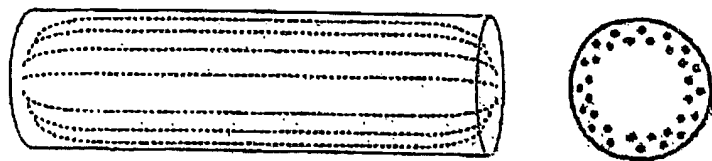
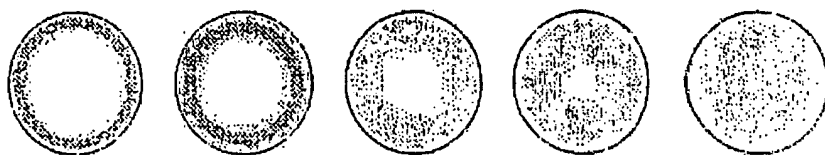


Fig. 21



A

B

C

D

E



Fig. 22

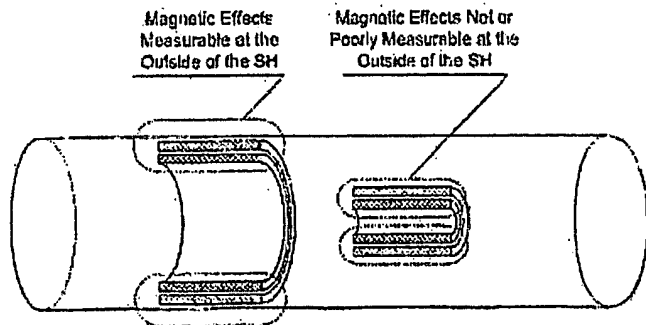


Fig. 23



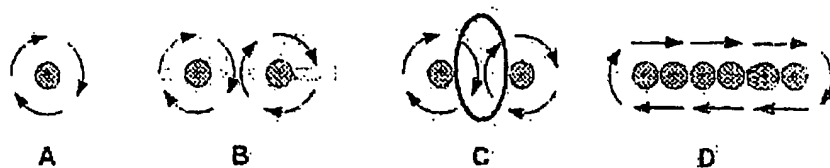


Fig 24

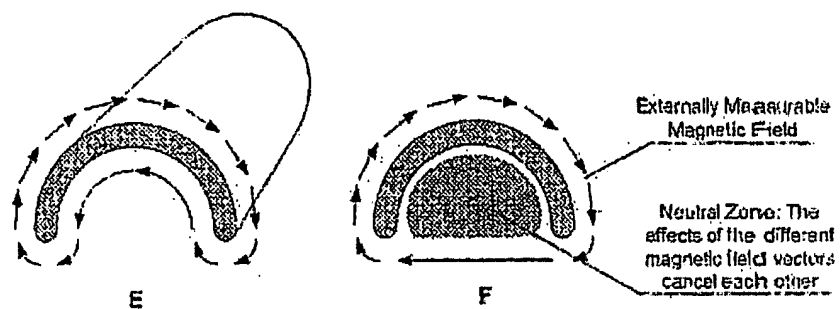


Fig. 25

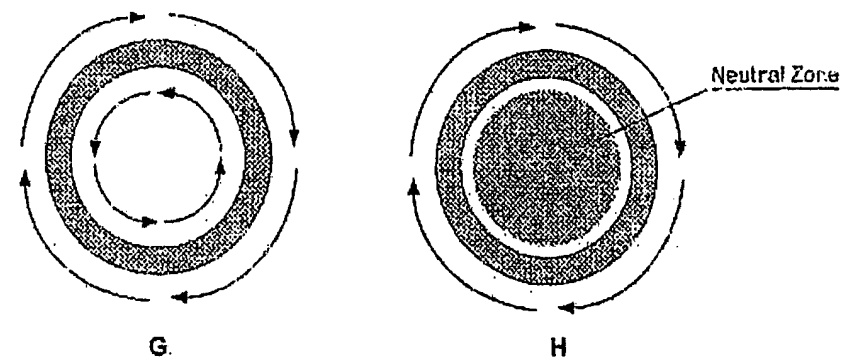


Fig 26

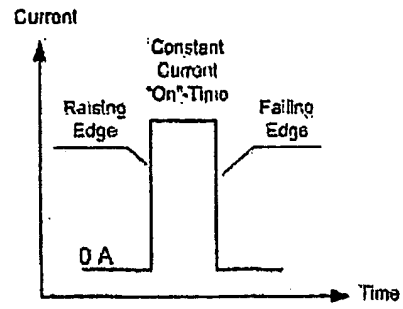


Fig. 27

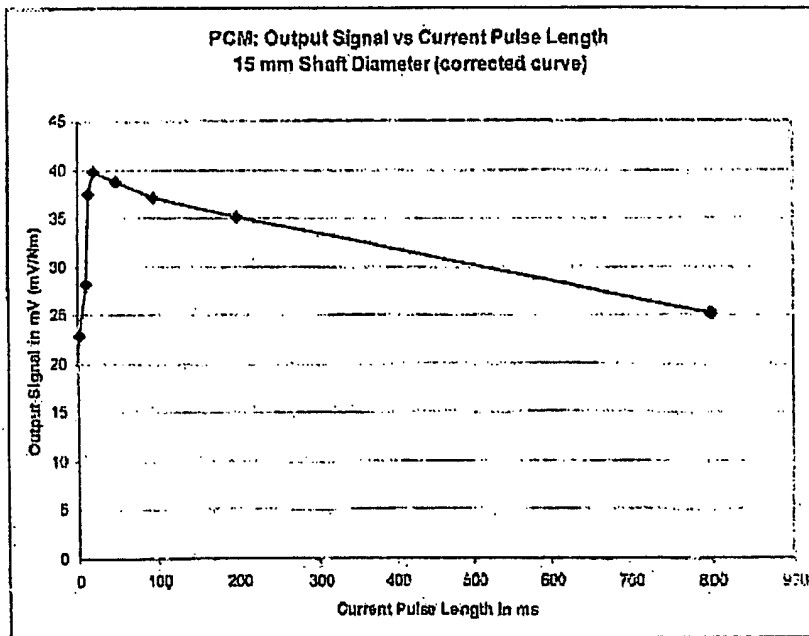


Fig. 28

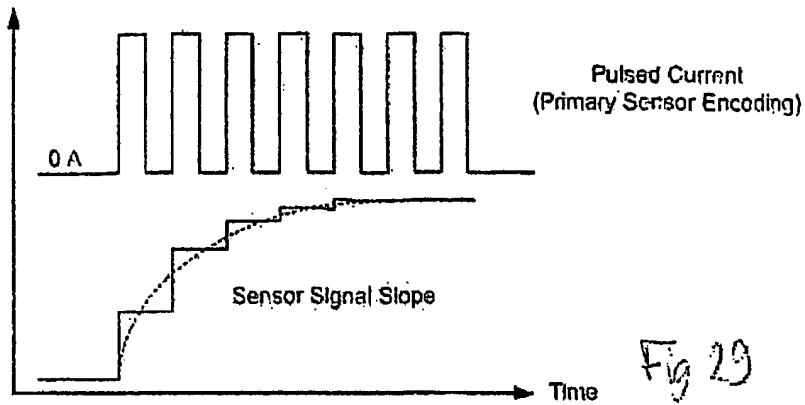


Fig 29

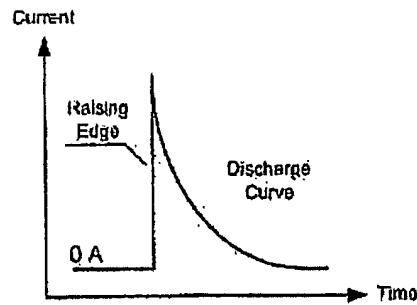


Fig 30

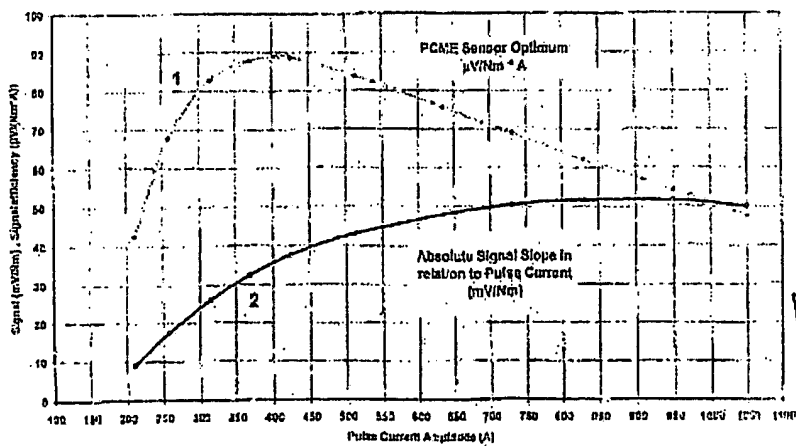
Signal (mV/Nm) and Signal Efficiency ( $\mu\text{V}/(\text{Nm} \cdot \text{A})$ ) vs Current at 15mm Shaft

Fig 31

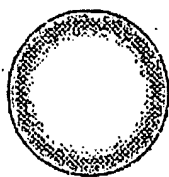


Fig. 32

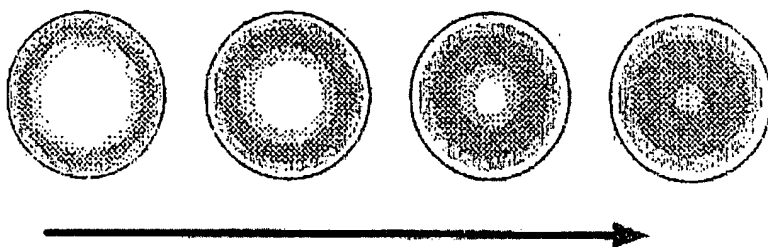


Fig. 33

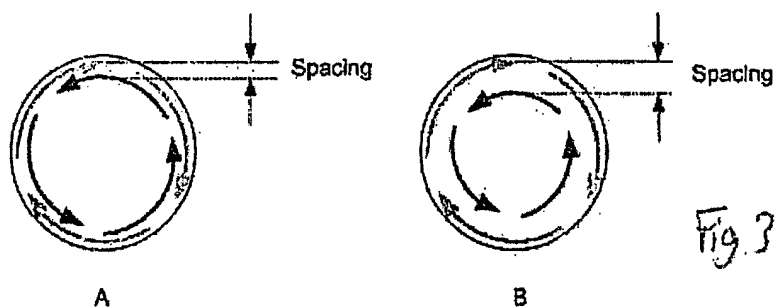


Fig. 34

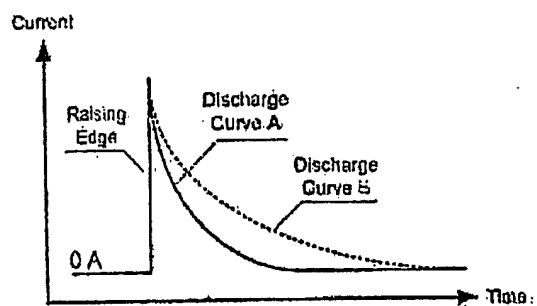
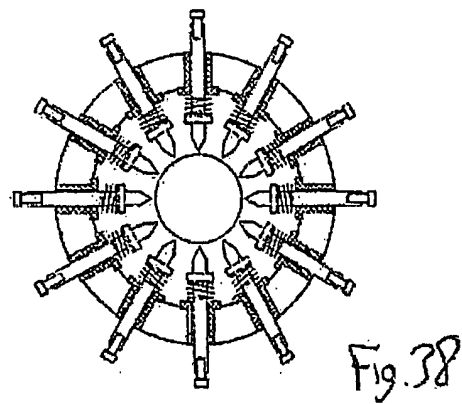
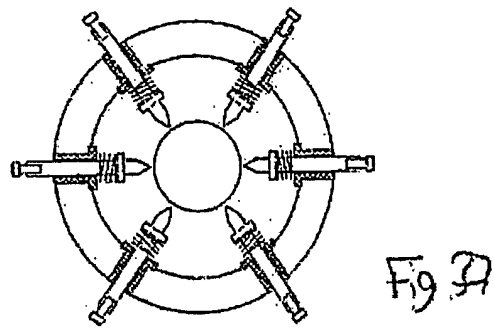
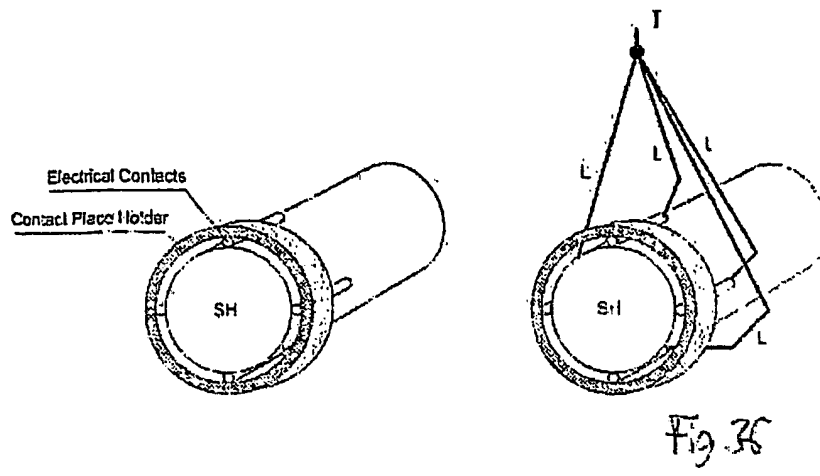


Fig. 35



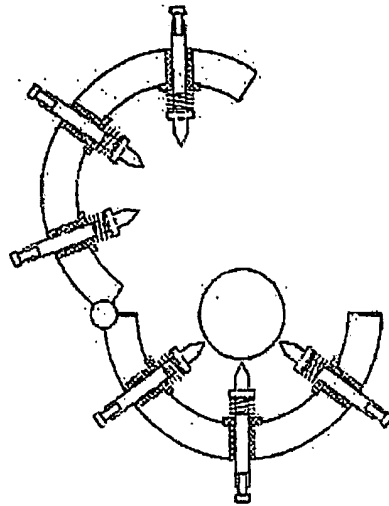


Fig. 39

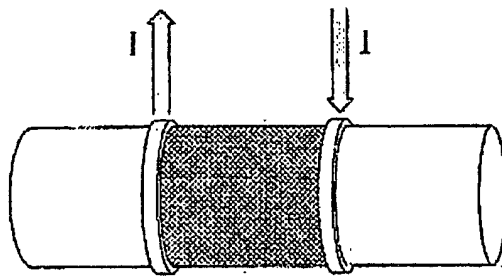


Fig. 40

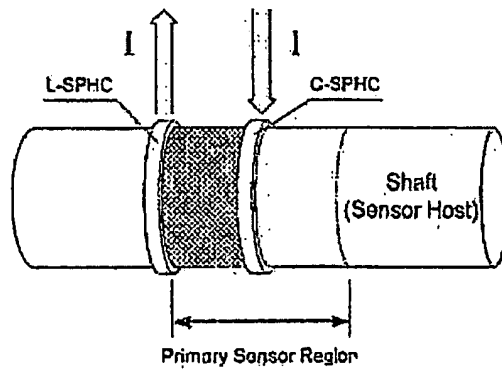


Fig. 41

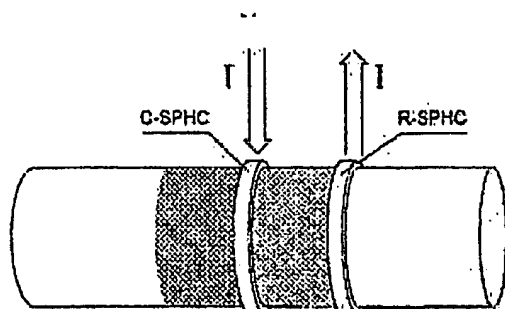


Fig. 42

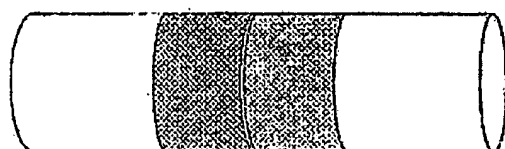


Fig. 43

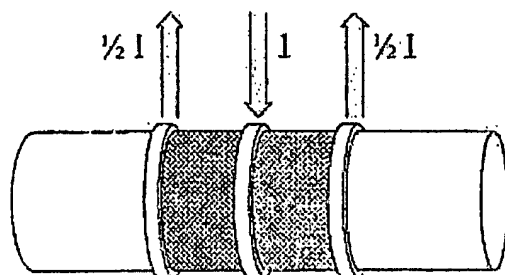


Fig. 44

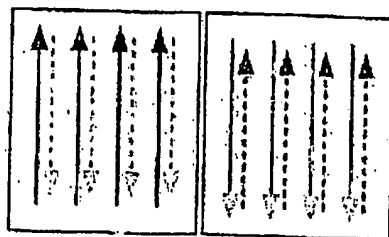


Fig. 45

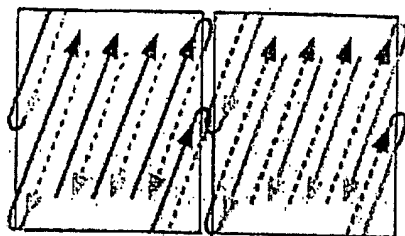


Fig. 46

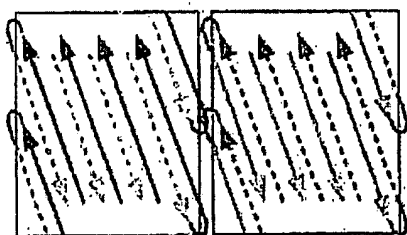


Fig. 47



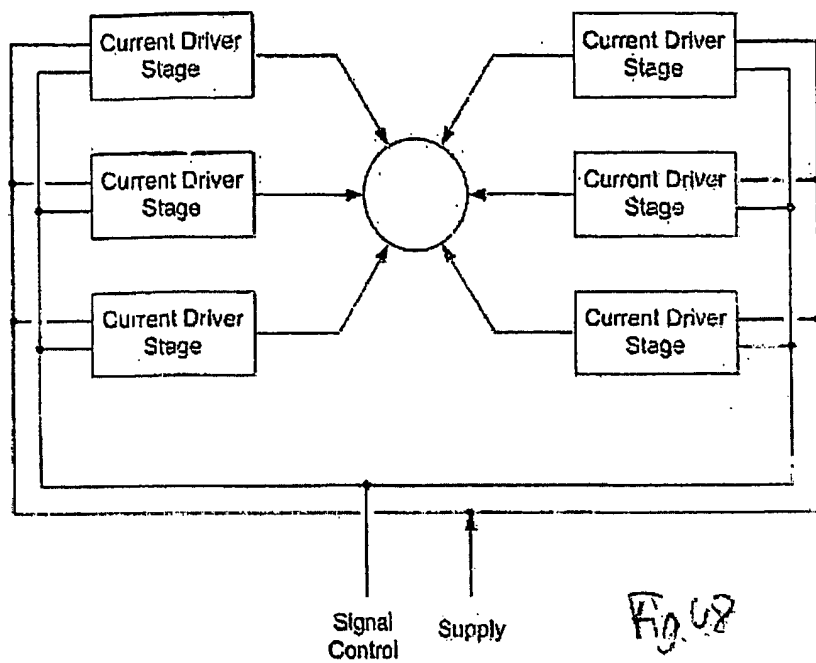


Fig. 48

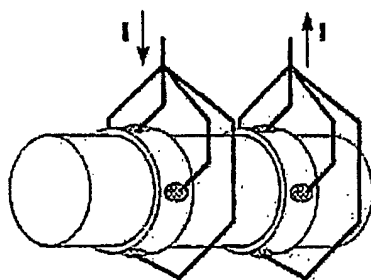
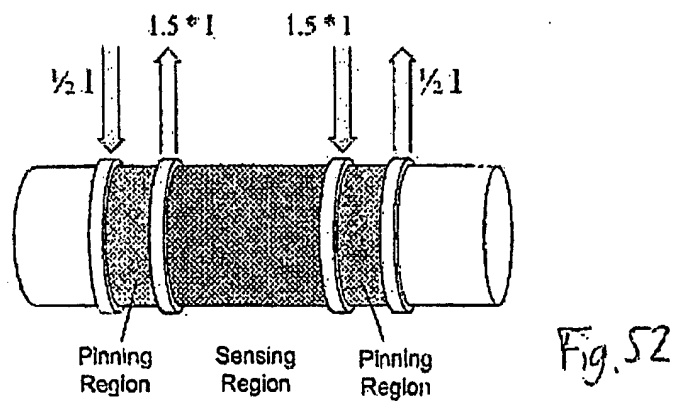
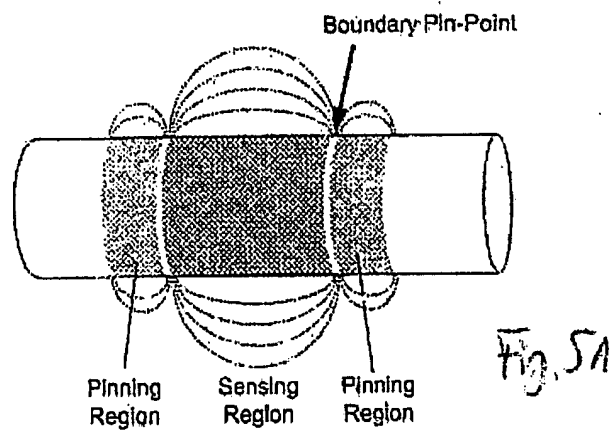
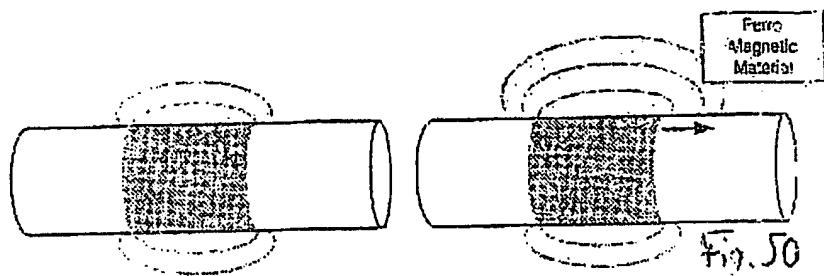
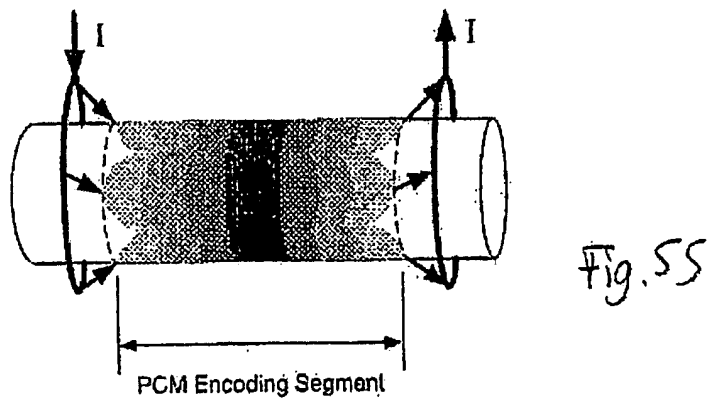
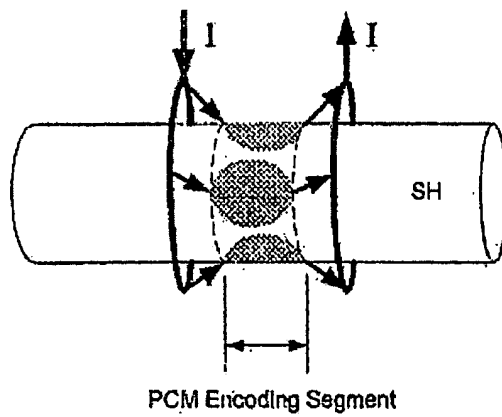
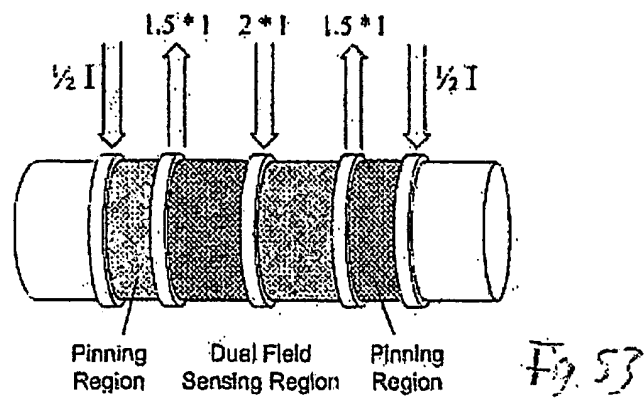


Fig. 49





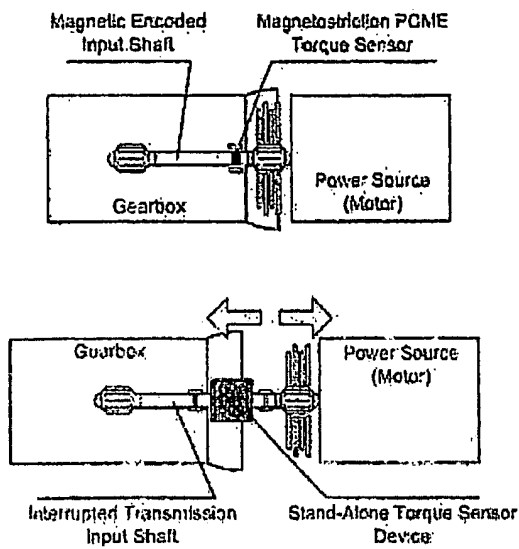


Fig. 56

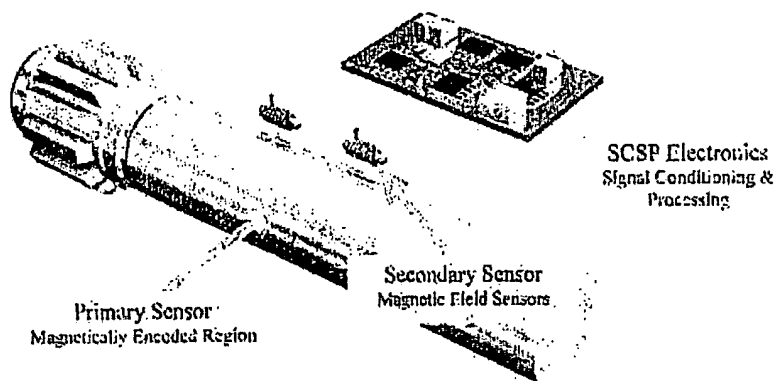


Fig. 57



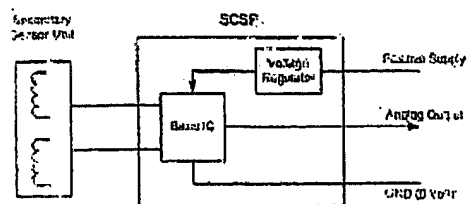


Fig. 61

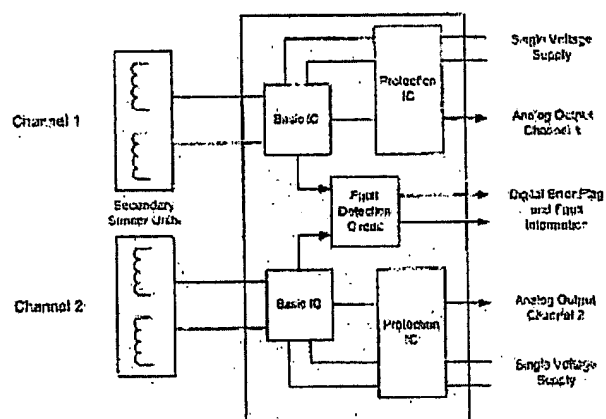


Fig. 62

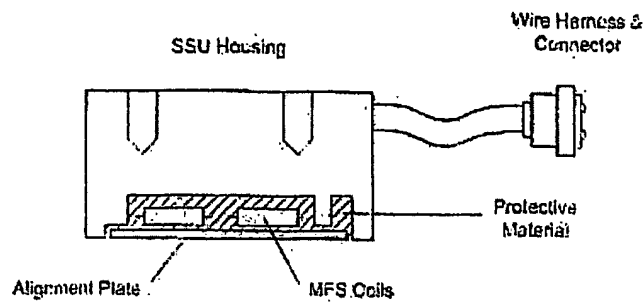


Fig. 53

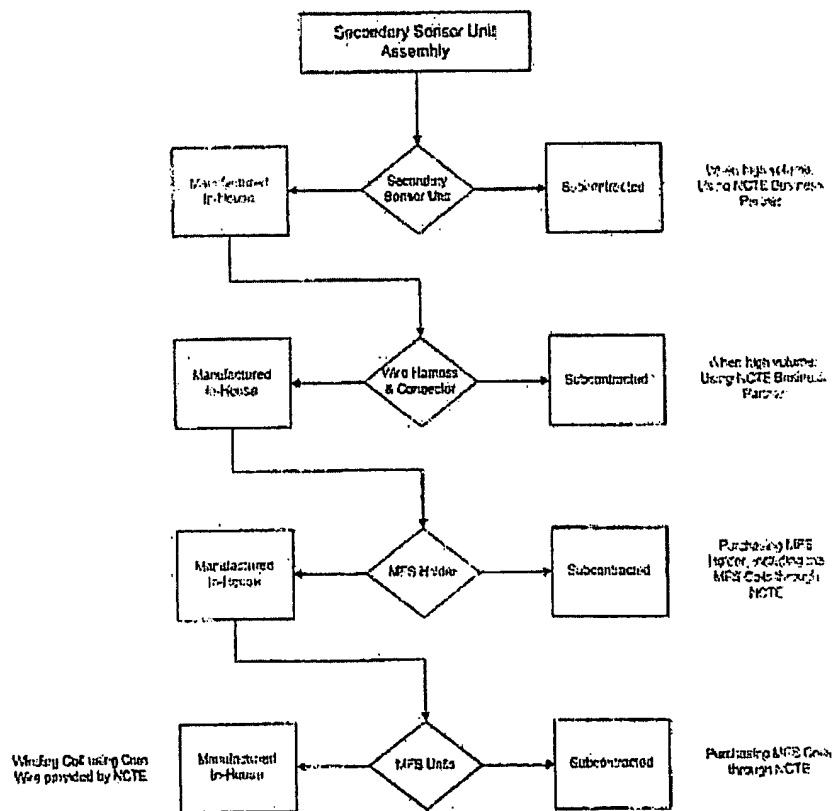
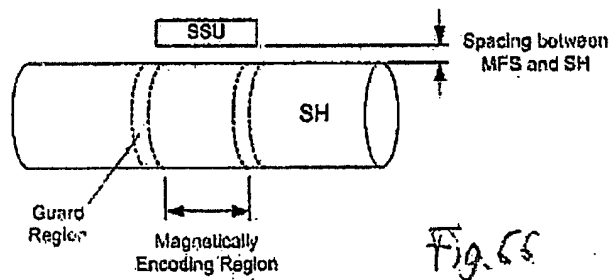
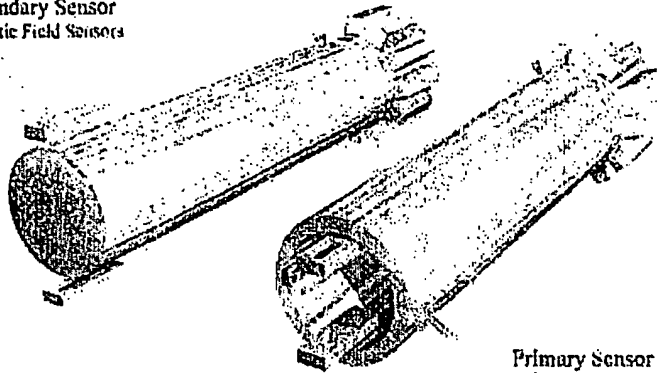


Fig. 54

Secondary Sensor  
Magnetic Field Sensors





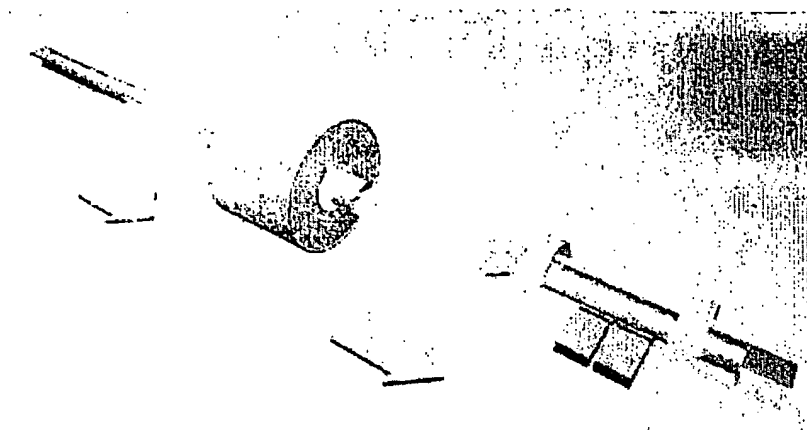
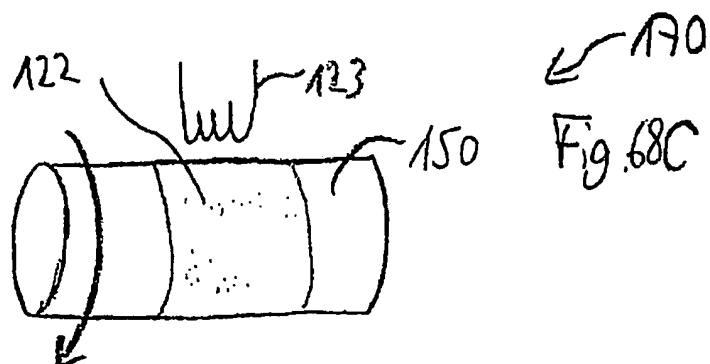
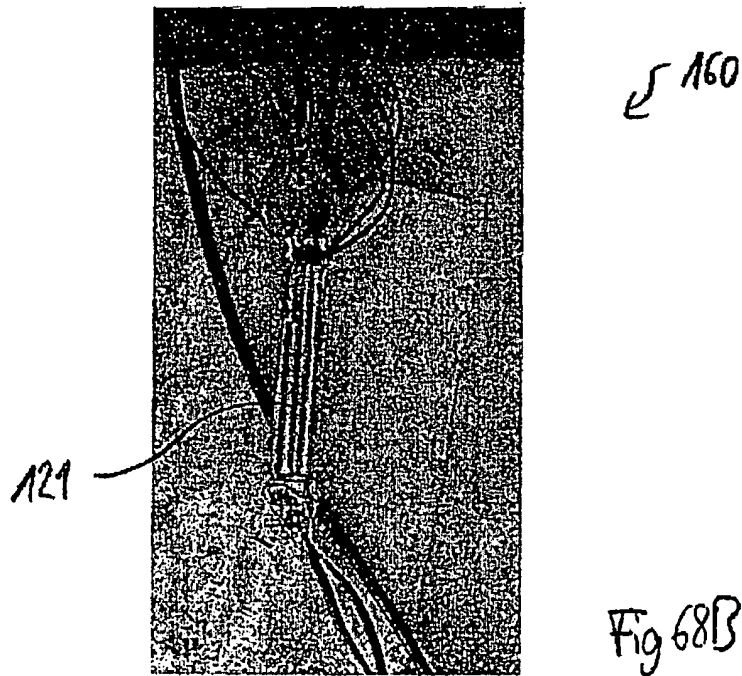
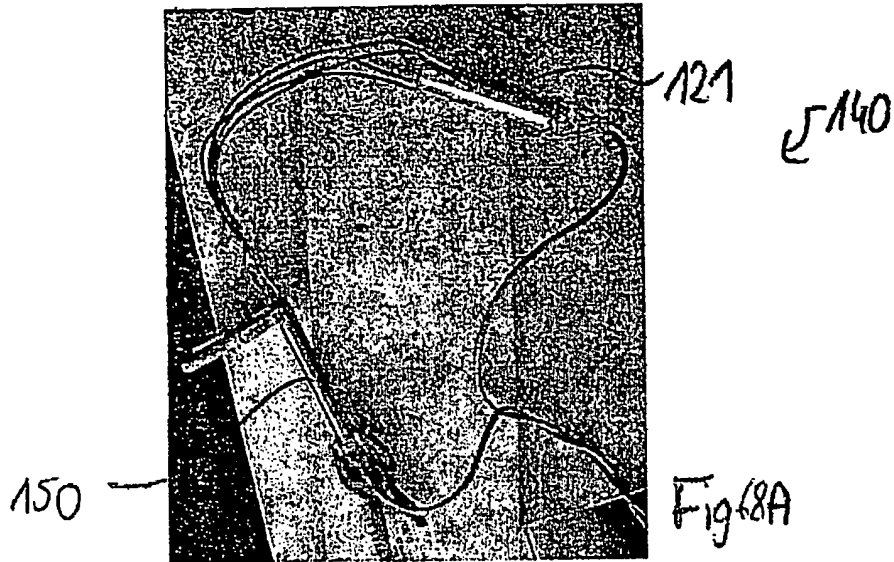


Fig. 67



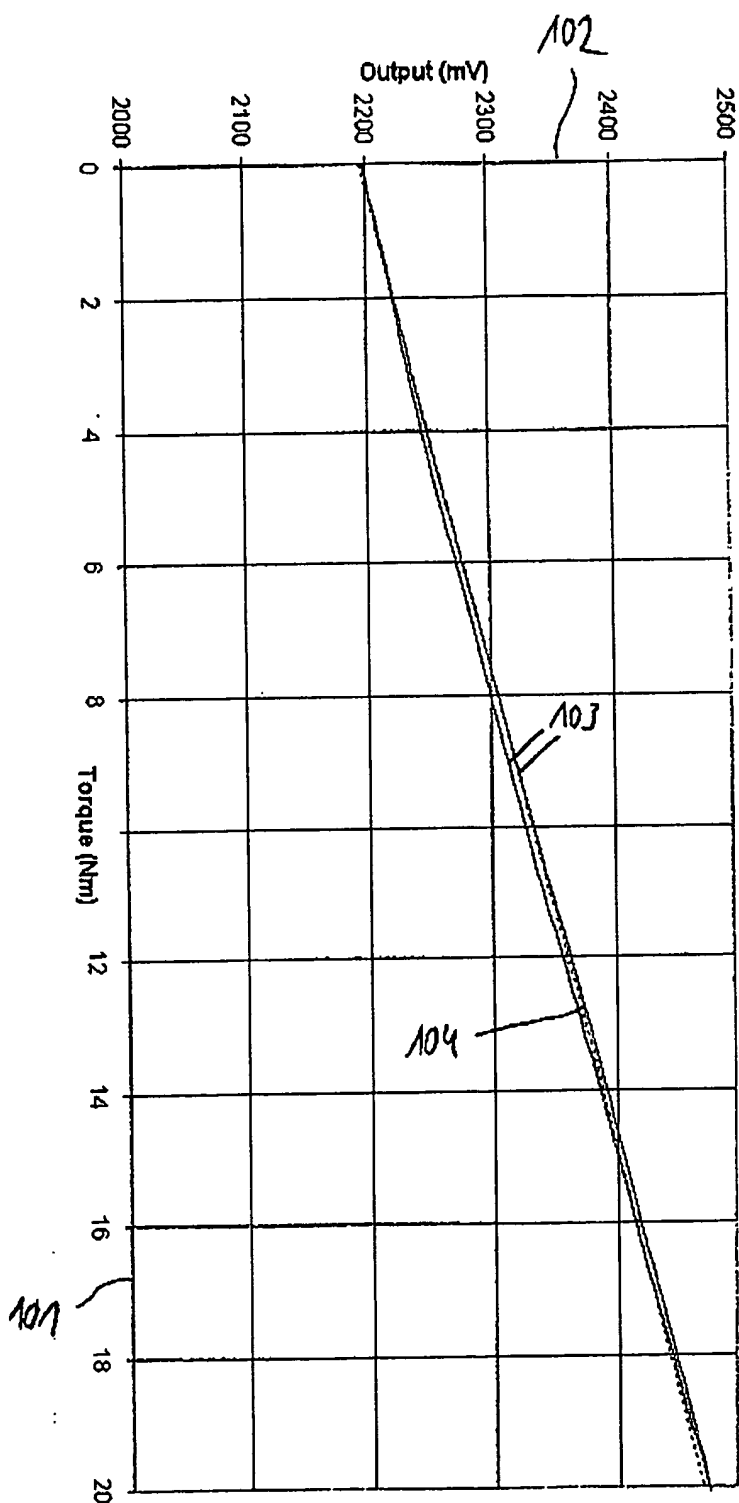
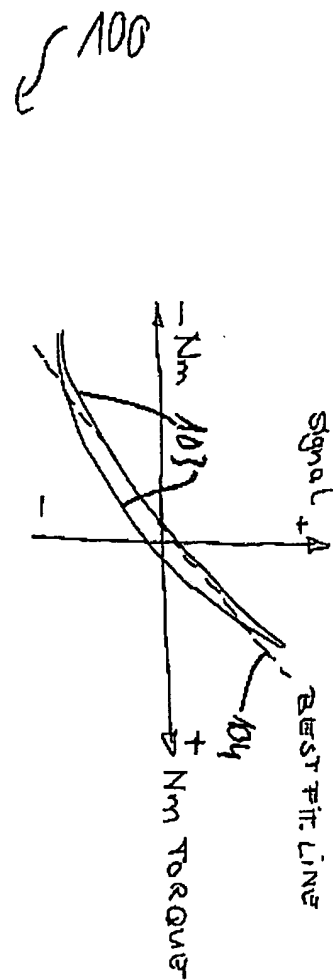
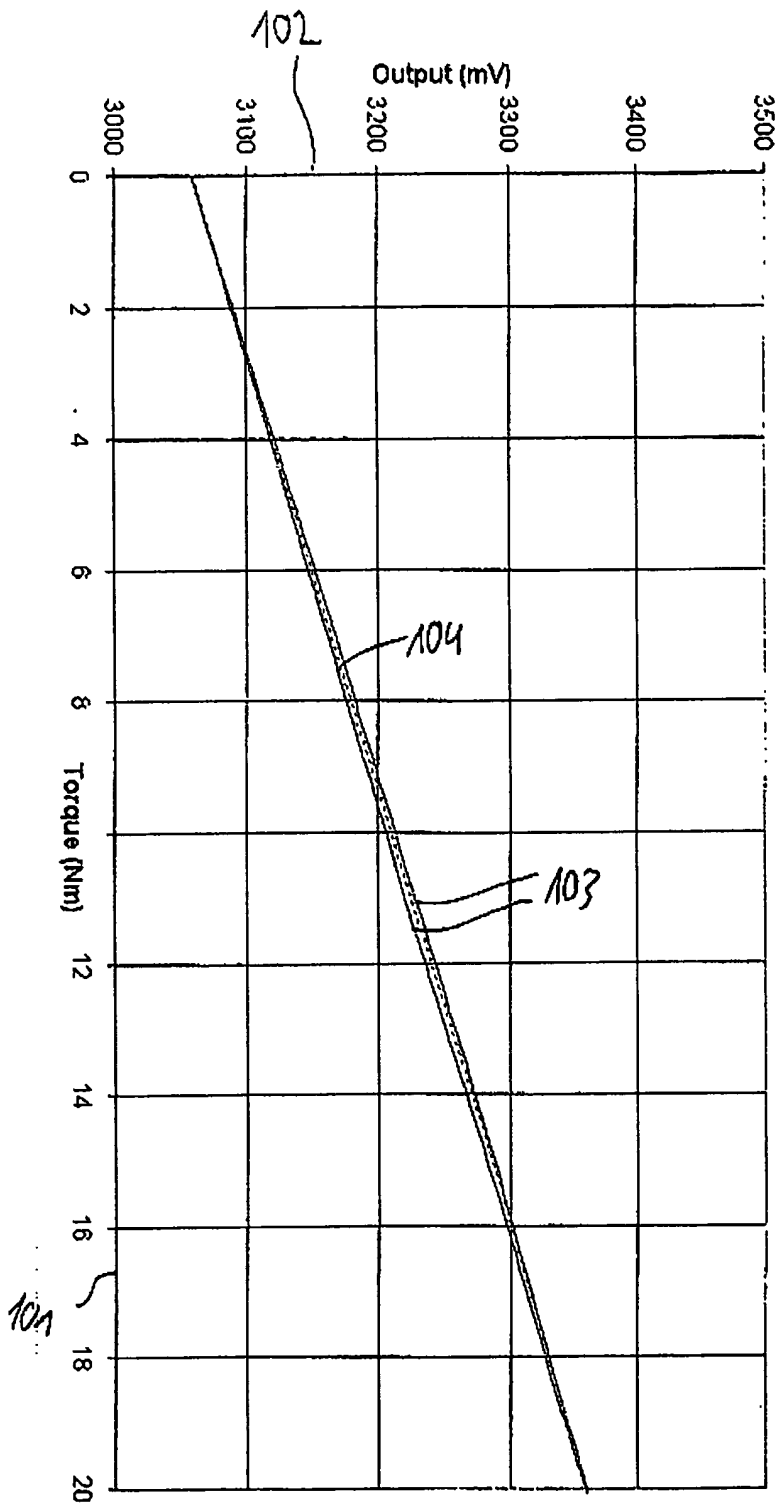


Fig. 68D



9mm #1c 570A (G=0.4 Hyst. 3.72% 13.8mV/Nm adapter deg.)



9mm #2c SAP 550A (G= 0.4, Hyst.: 2.59% 15.1mV/Nm adapters degaussed)

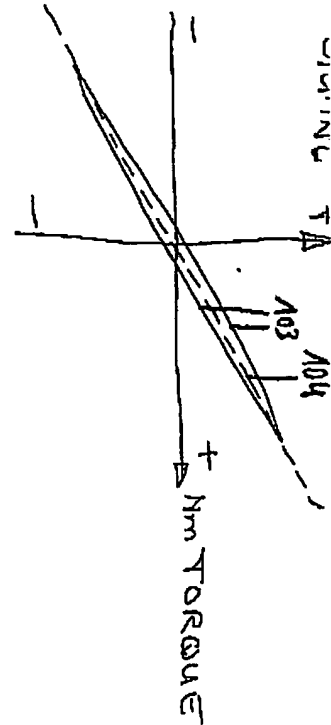


Fig. 8E

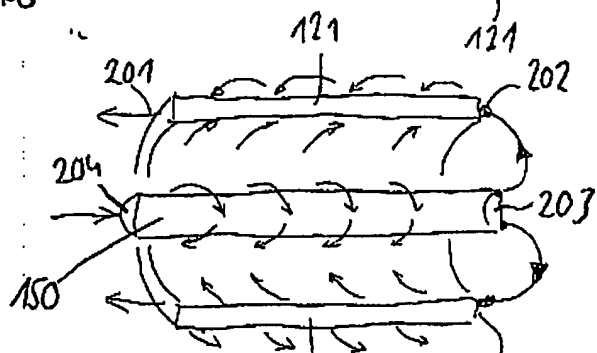
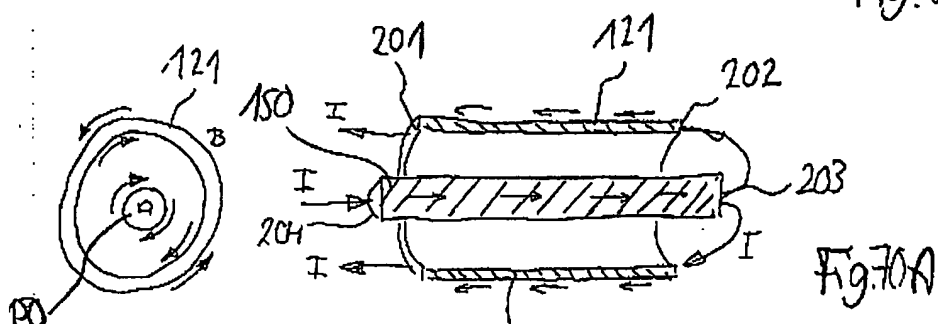
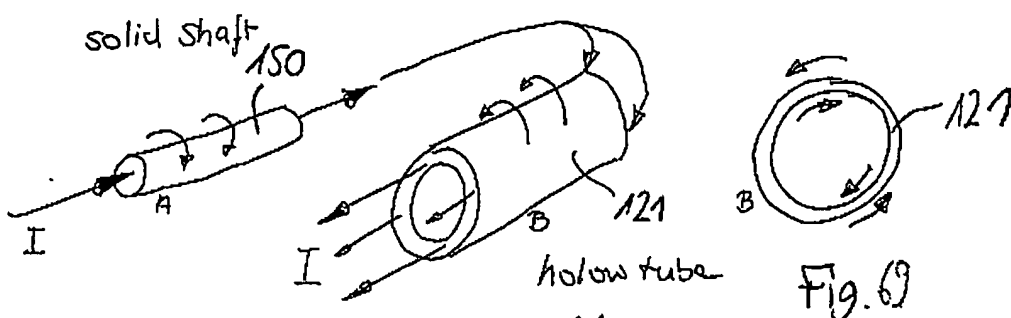
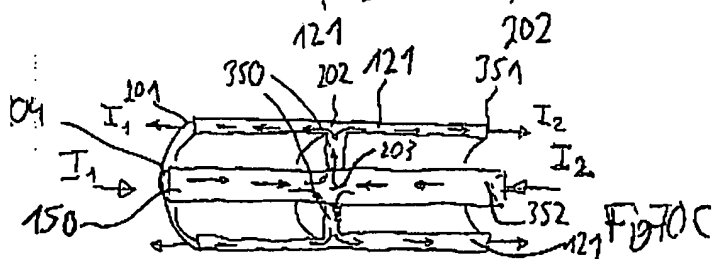
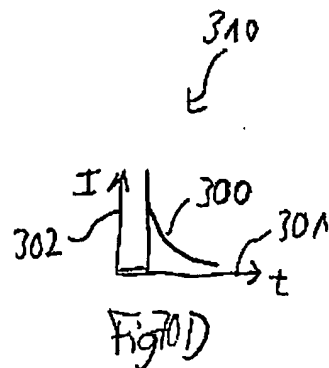
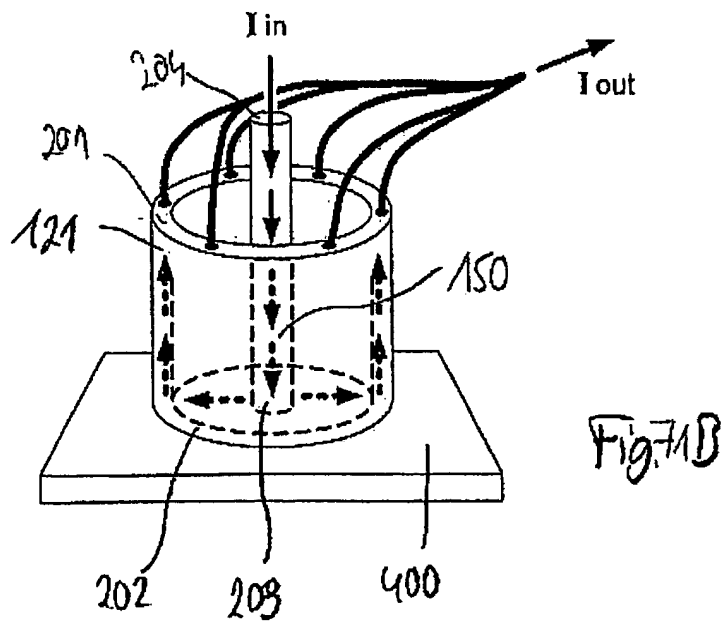
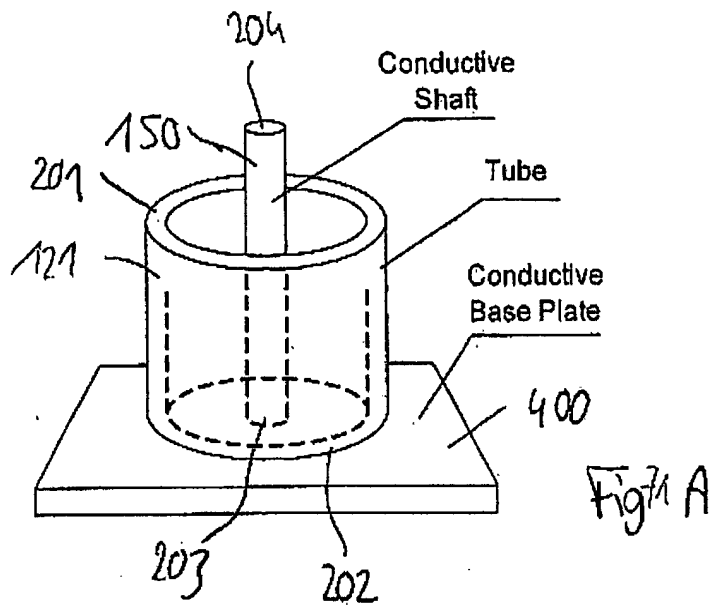
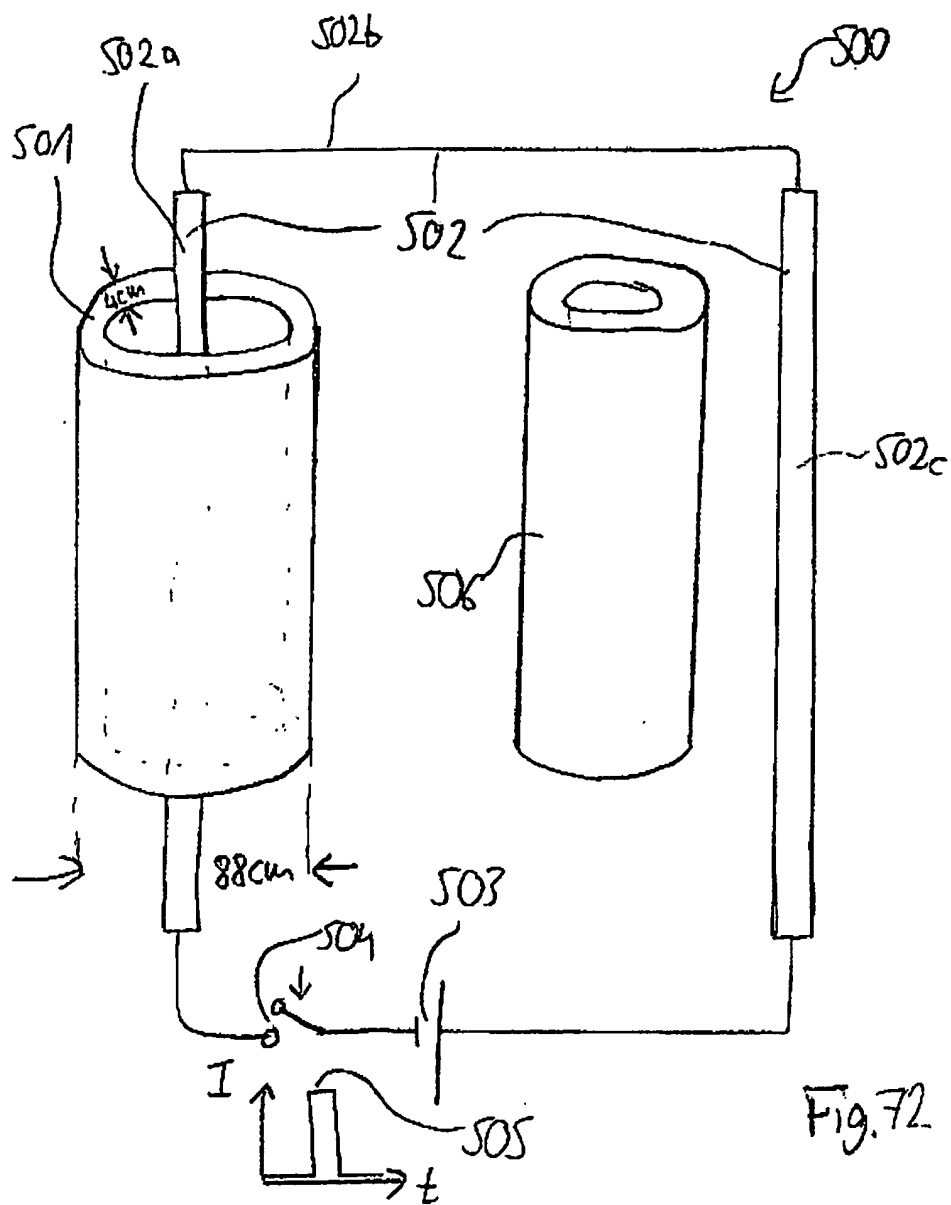
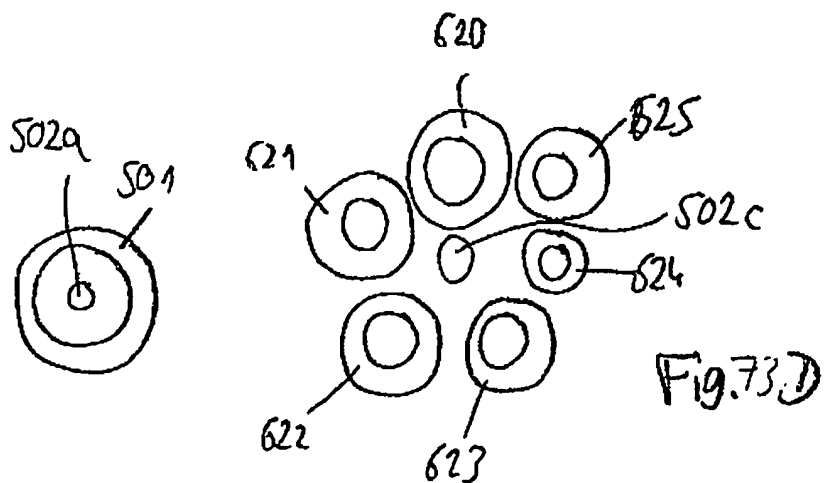
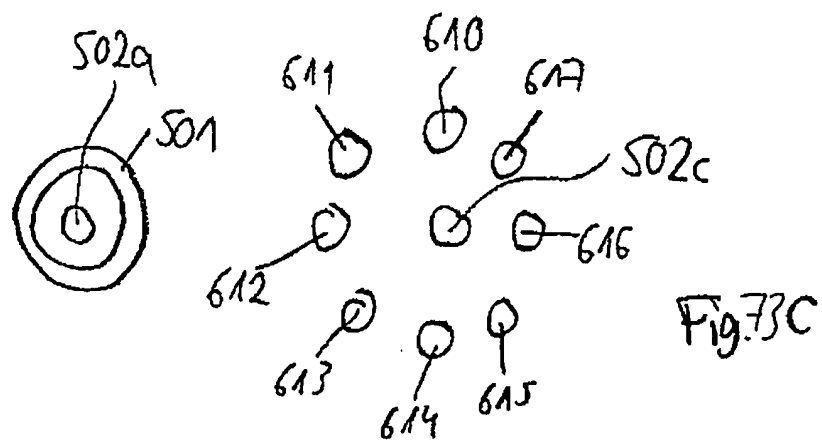
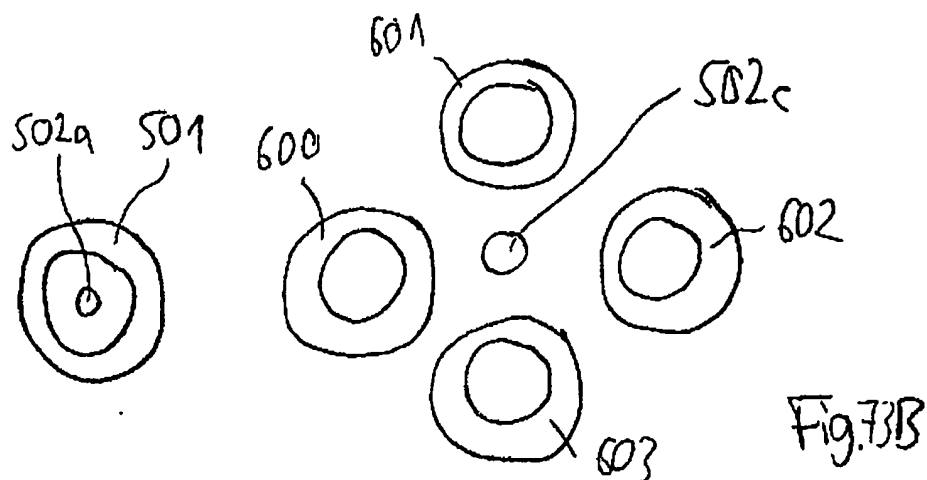


Fig. 70B











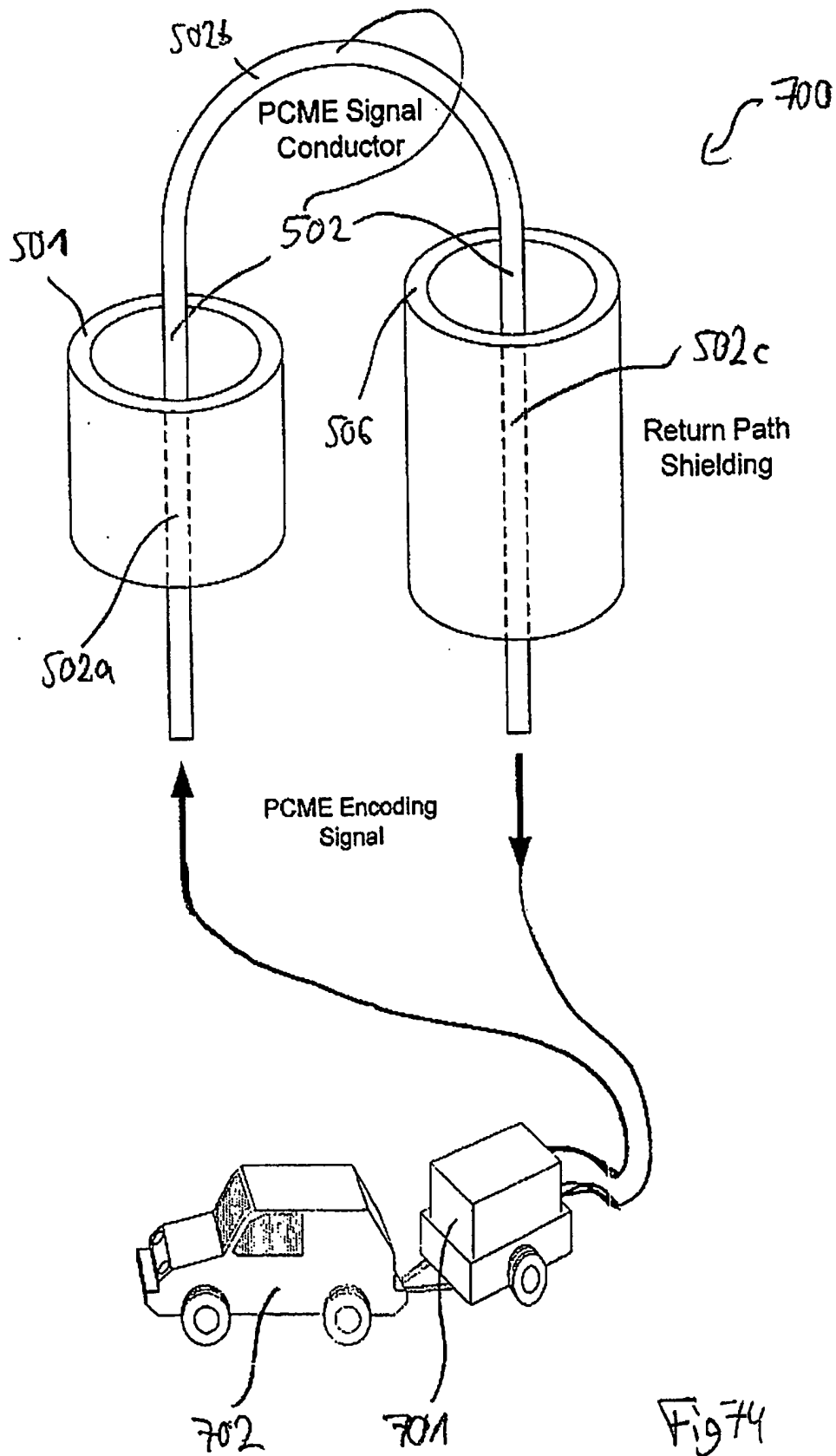
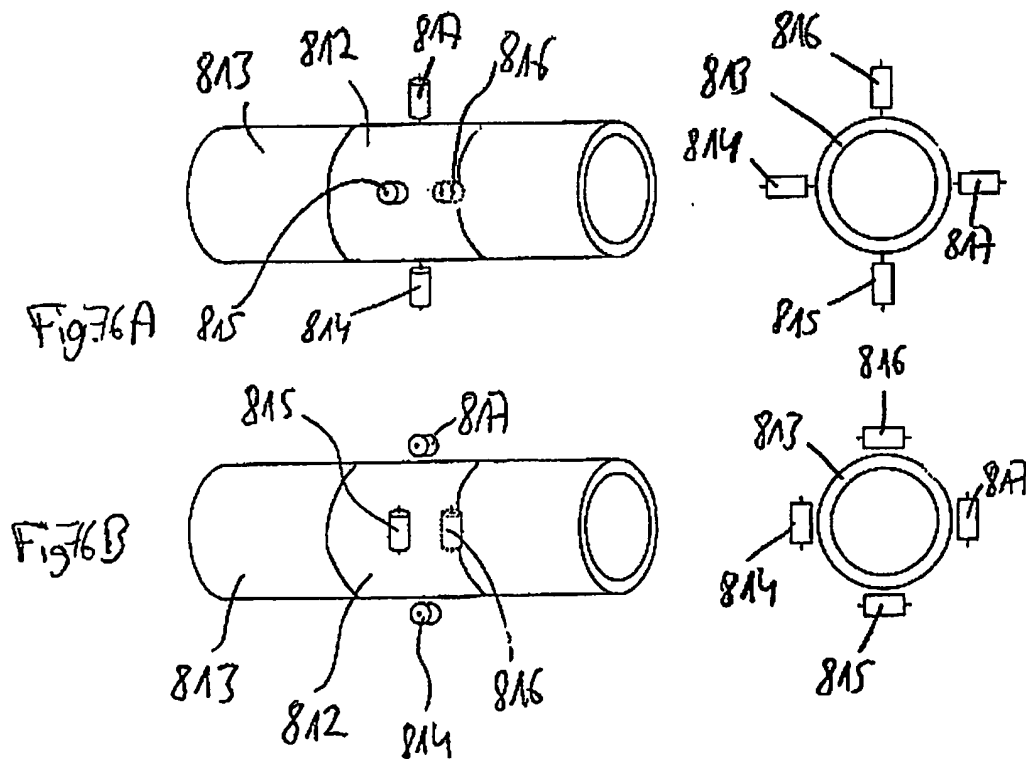
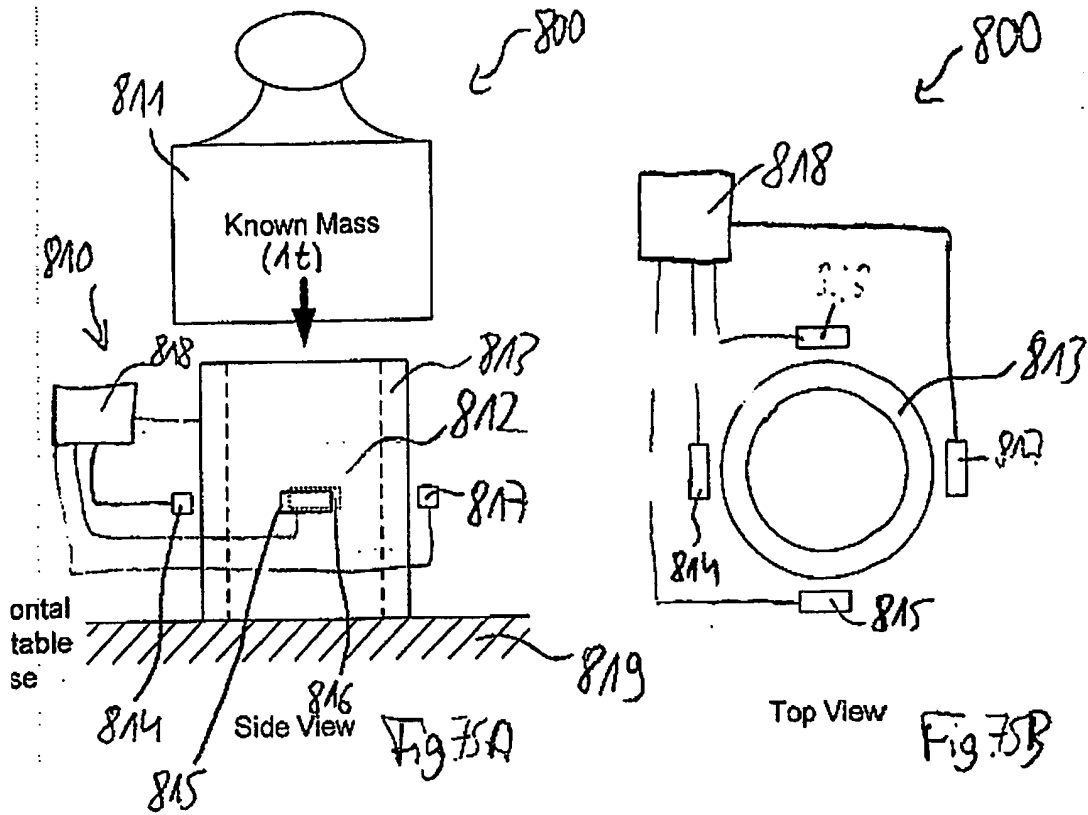
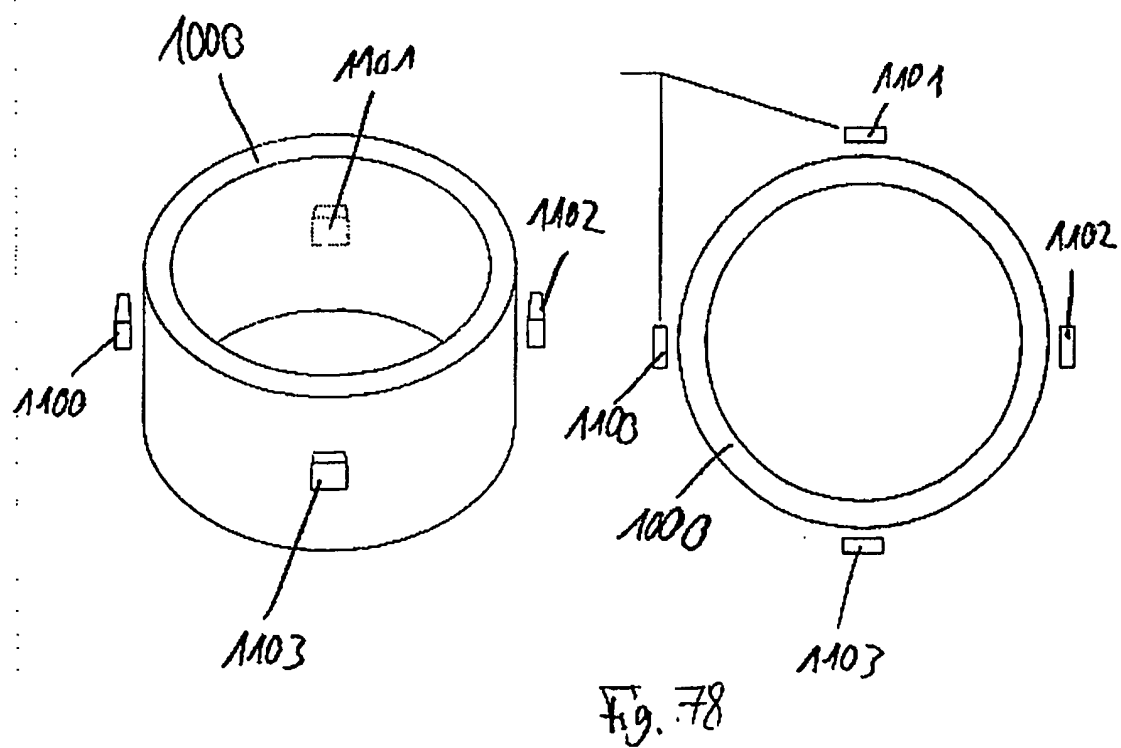
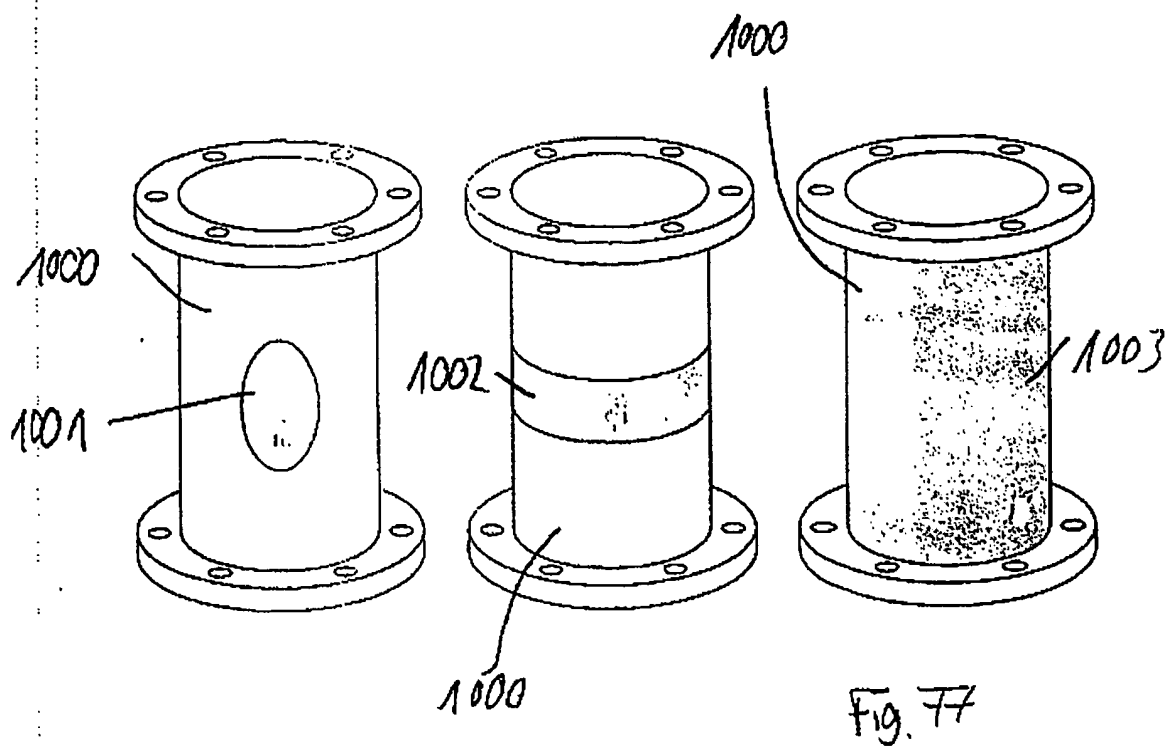


Fig 74





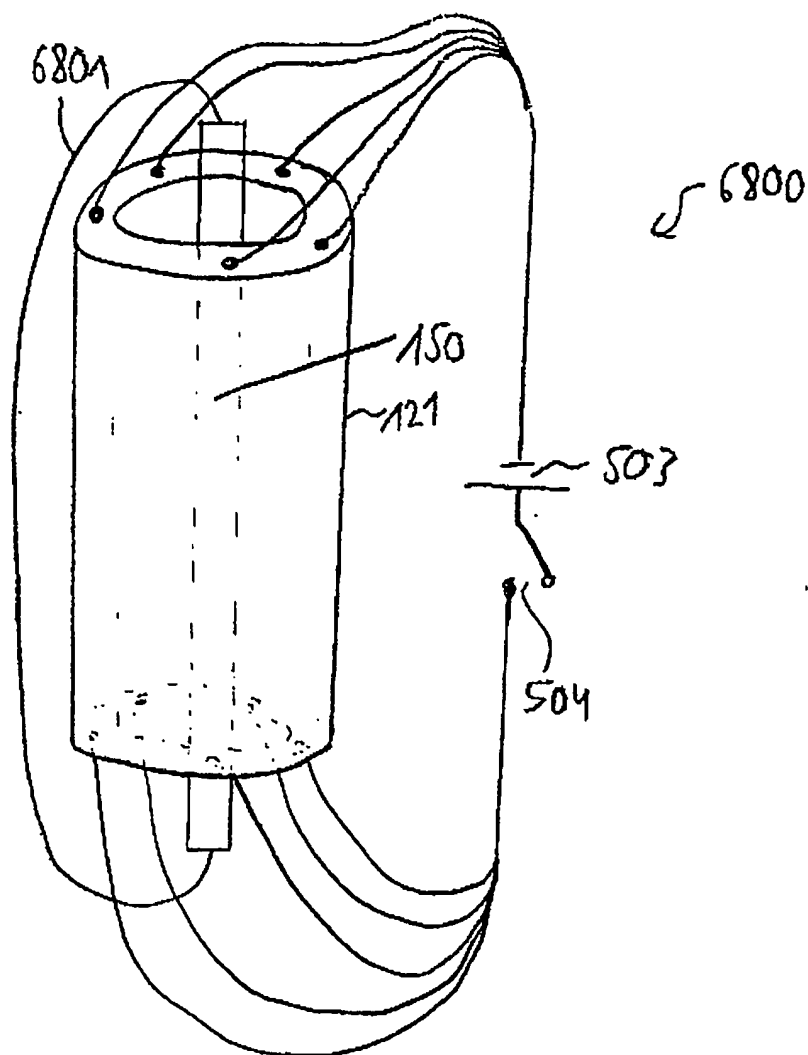


Fig. 79

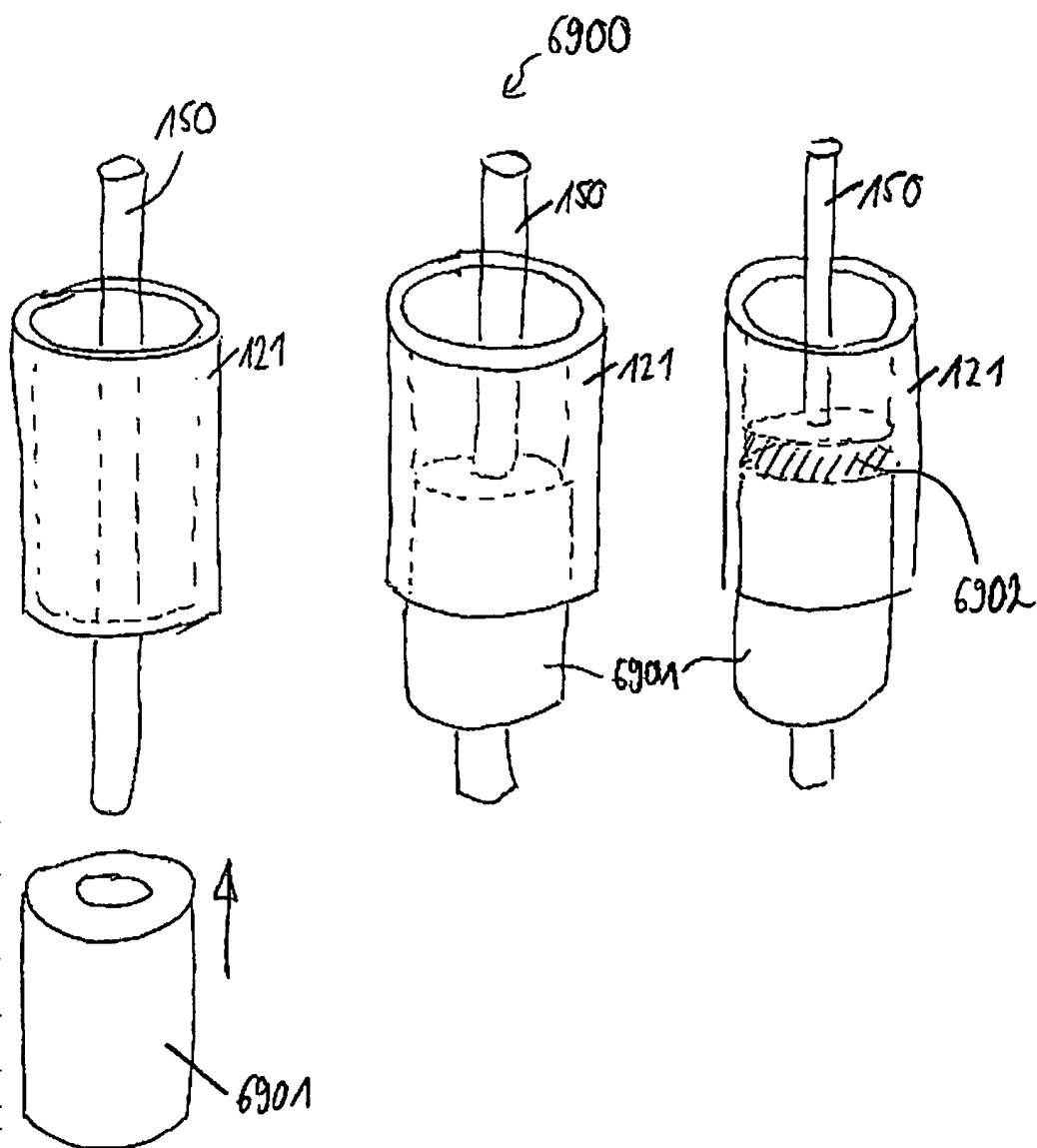


Fig. 80

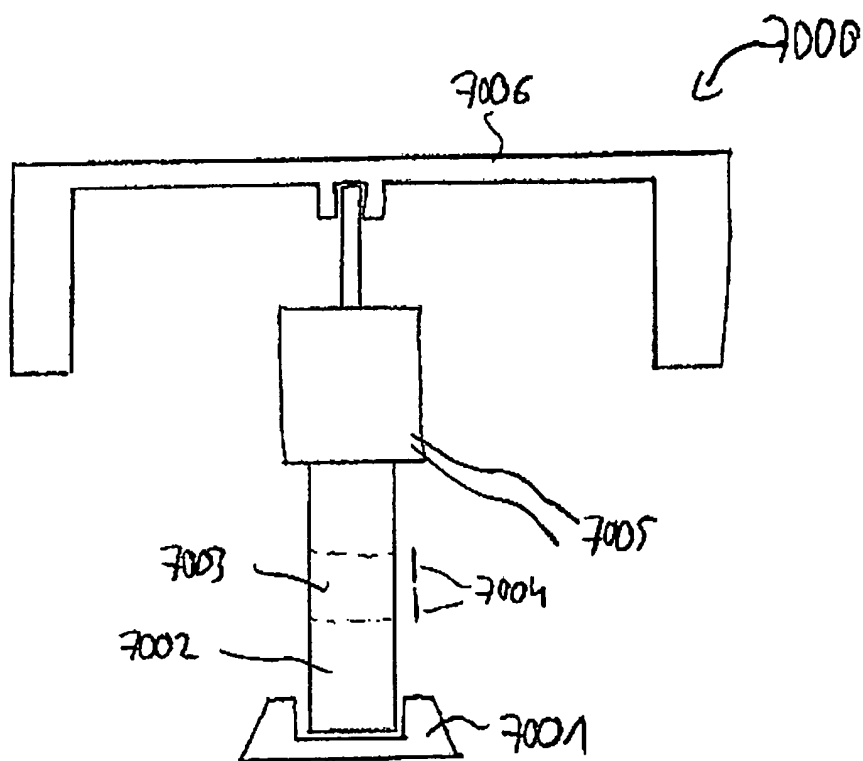


Fig. 8A